

基本館藏

146000

煤矿科学技术论文选

鉆眼爆破

北京矿业学院鉆眼爆破教研組編



煤炭工业出版社

307
2554

5(3)7

5/2554

K.4

煤 矿 科 学 技 术 论 文 选

鑽 眼 爆 破

北京礦業學院鑽眼爆破教研組編

煤炭工业出版社

679

煤礦科學技術論文選

鉆眼爆破

北京礦業學院鑽眼爆破教研組編

本

煤炭工業出版社出版(地址:北京市東長安街煤炭工業部)

北京市書刊出版業營業許可證出字第034號

煤炭工業出版社印刷厂排印 新華書店發行

*

開本850×1168公釐 $\frac{1}{32}$ 印張 5 $\frac{15}{16}$ 字數132,000

1958年3月北京第1版 1958年3月北京第1次印刷

統一書號:15035·418 印數:0,001—2,000冊 定價:(11)1.50元

出版說明

为了适应煤炭工业部门科学的研究工作者和工程技术人员的需要，我们就不同的专题从苏联和其他国家的书刊中选择结合我国需要的论文分辑出版，我国同类性质的论文也编入。总题名为“煤矿科学技术论文选”。

本辑选择有关“鑽眼爆破”这一专题的十七篇论文，其中一篇是我國作者寫的，十五篇譯自苏联書刊，一篇譯自英文雜志。

在本輯中，重点介绍了热力鑽眼法、湿式鑽眼法、毫秒發爆法和聚能裝藥的应用等。

目 錄

出版說明

風鑽軸壓力的計算.....	3
应用热力破坏岩石的方法.....	10
应用噴射性噴头的热力鑽眼法的理論基礎.....	20
热力鑽眼法在井下应用的研究.....	35
略論湿式鑽眼及湿润剂之应用.....	43
湿式鑽眼时礦塵被湿润和逸出眼外之条件.....	62
論湿式鑽眼时湿润剂效果之試驗生產性實驗方法及其結果.....	72
湿式鑽眼时所用湿润性參料的效果問題.....	82
論毫秒發爆技術	100
毫秒發爆的經驗	103
論毫秒發爆裝藥时的地震效果	108
露天礦的毫秒發爆法	113
露天开采中毫秒發爆的研究	123
論聚能裝藥	129
論采礦工作中采用聚能裝藥的合理性	135
聚能裝藥在采礦和冶金工業上的应用	157
关于确定工作面上炮眼數目的問題	175

風鑽軸壓力的計算

〔苏联〕技术科学副博士 И. Е. Детистов 作

張 茂 譯 王文龍校

正确选择鑽机轴压力的大小，对鑽机的正常工作、提高鑽眼速度和减少鑽头磨耗，具有極重大的意义。

尽管該因素对实际工作是这样的重要，但是关于选择轴压力大小的問題，迄今在理論上仍未最后得到解决。

已有的軸压力計算公式常不可能决定作用在風鑽上的靜壓力，且其中的一些公式是立足于不能够正确反映在钎刃作用下岩石破坏的实际情况基礎上的。馬拉哈夫建議用反冲时机壳速度损失的时间与机壳返至其原來位置的时间总和小于活塞空程时间的方法來确定作用在鑽机手柄上的压力〔1〕。

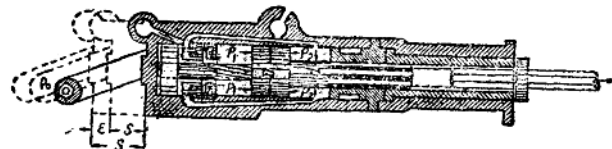
西达林卡确定最合适的軸压力为工作冲程与空程运动时所需力和的四分之一〔2〕。

布奇聶夫提出了作用在風鑽上的軸压力值应取决于岩石的極限抗剪强度，他認為当進行冲击式鑽眼时，除靠冲击击碎岩石外，同样也發生有岩石的剪切。該剪切依靠轉动钎子機構的迴轉所產生〔2〕。

風鑽作功的理論的分析与鑽眼經驗証明，軸压力的大小应僅从風鑽反冲的反作用力來考慮。而且为了避免钎头与岩石的过分摩擦及空击，必須在鑽水平眼与上眼时使軸压力得以保証钎刃尽可能的趋近岩石，且讓在钎刃切削線上的靜力为最小。

我們將从上述觀点來研究与鑽机主要参数及風压有关的軸压力值。

进入风箱气缸内的压气，迫使活塞向前运动。同时作用在气缸后端的压气压力，促使机体向后，也就是向着活塞运动的相反方向运动，其加速度的允许精确度如下式(1)所示：



$$u''_n = \frac{P_1 - P_0}{M} \quad (1)$$

在式(1)中：

$P_1 = \frac{P_{cp}\pi D^2}{4}$ ——工作冲程时，作用在活塞上的力。

$M = \frac{Q_m}{g}$ ——机体的质量；

P_{cp} ——气缸内压气的平均压力；

D ——气缸直径；

Q_m ——风箱重量；

g ——重力加速度；

P_0 ——风箱上的轴压力；

活塞在工作冲程加速过程中所花的时间，可按已知的物理公式求得。

$$T_p = \sqrt{\frac{2L}{u_1}} \quad (2)$$

而 $U_1 = \frac{P_1}{m_n}$ ——工作冲程，活塞之加速度；

m_n ——活塞质量；

L ——活塞冲程。

该段时间终了时，机体移动的距离将等于

$$S = \frac{u'_{\text{m}} T_p^2}{2}, \quad (3)$$

而末速度为：

$$v_{\text{m}} = u'_{\text{m}} T_p. \quad (4)$$

工作行程终了，当压气从相反方向进入时，遂使活塞的运动改变了方向。这时开始作用在机壳上的为向工作面方向的两个力的合力，即 $P_2 + P_0$ 。

式中 P_2 系空程时作用于活塞上的作用力。

$$P_2 = \frac{P_{\text{cp}} \pi (D^2 - d^2)}{4}. \quad (5)$$

在式(5)中， d 为活塞杆的直径。

由于作用力方向的改变，遂引起机壳运动的减速。这是因为机壳所具有的动能，在行程 ϵ 内被上述合力的作功所消耗。

作用力方向改变所引起的减加速度，可按公式确定之。

$$u''_{\text{m}} = \frac{P_2 + P_0}{M}. \quad (6)$$

机体在减速时所行距离可从下式确定出

$$\epsilon = \frac{v_{\text{m}}^2}{2u''_{\text{m}}}. \quad (7)$$

减加速阶段所需的时间

$$T_3 = \sqrt{\frac{2\epsilon}{u''_{\text{m}}}}. \quad (8)$$

因此，为使机壳返回其原始位置，必须在 $P_2 + P_0$ 力的作用下，使机壳所经行程为 $S + \epsilon$ 。

在该行程内，机壳经加速的运动时间与上述者相同，按公式确定之。

$$T_n = \sqrt{\frac{2(S+\varepsilon)}{u''_n}}. \quad (9)$$

如果考慮到，机壳运动的减速時間發生在活塞的空程期間內，則為使机壳來得及返回其原始位置，須使減速度時間與在相反方向（向工作面）正常運動時間之和不大于或小於活塞空程的時間，即是

$$T_x \geq T_s + T_n, \quad (10)$$

其中 $T_x = \sqrt{\frac{2L}{U_2}}$ ——活塞空程時間；

$U_2 = \frac{P_2}{m_n}$ ——活塞空程時之加速度。

與活塞空程時間相較，僅可以增加軸壓力來減少鑽機返程的時間。可是為使鉗頭與岩石不發生過分的摩擦，故取

$$T_x = T_s + T_n, \quad (11)$$

或

$$\sqrt{\frac{2L}{u_2}} = \sqrt{\frac{2\varepsilon}{u''_n}} + \sqrt{\frac{2(S+\varepsilon)}{u''_n}}. \quad (12)$$

用力與質量來替代加速度，得

$$\sqrt{\frac{2m_n L}{P^2}} = \sqrt{\frac{2\varepsilon M}{P_2 + P_0}} + \sqrt{\frac{2M(\varepsilon + S)}{P_2 + P_0}}. \quad (13)$$

公式(13)內

$$\varepsilon = \frac{v'^2_n}{2u''_n} = \frac{(u'_n T_p)^2 M}{2(P_2 + P_0)} = \frac{(P_1 - P_0)^2 2L m_n M}{M^2 2(P_2 + P_0) P_1} = \frac{L m_n (P_1 - P_0)^2}{P_1 M (P_2 + P_0)},$$

$$S = \frac{u'_n T_p^2}{2} = \frac{(P_1 - P_0) 2L m_n}{2MP_1} = \frac{L m_n (P_1 - P_0)}{P_1 M}.$$

將 $\varepsilon + S$ 代入公式(13)得

$$\sqrt{\frac{2L m_n}{P_2}} = \sqrt{\frac{2M L m_n (P_1 - P_0)^2}{(P_2 + P_0) P_1 M (P_2 + P_0)}}$$

$$+ \sqrt{2M \left[\frac{Lm_n(P_1 - P_0)^2}{P_1 M (P_2 + P_0)} + \frac{LM_n(P_1 - P_0)}{MP_1} \right] \frac{P_2 + P_0}{P_2 + P_0}}.$$

公式經整理后變成

$$\sqrt{\frac{1}{P_2}} = \sqrt{\frac{(P_1 - P_0)^2}{P_1(P_2 + P_0)^2}} + \sqrt{\frac{(P_1 - P_0) \left[\frac{P_1 - P_0}{P_2 + P_0} + 1 \right]}{P_1(P_2 + P_0)}}. \quad (14)$$

解方程式(14)求 P_0 得以下二次方程式

$$P_0^2 (\sqrt{P_1} + \sqrt{P_2})^2 + P_0 [(P_2 + \sqrt{P_1 P_2})^2 - 2P_1 \sqrt{P_1 P_2}] - 2P_1 P_2 \sqrt{P_1 P_2} = 0$$

$$\text{令 } (\sqrt{P_1} + \sqrt{P_2})^2 = A,$$

$$(P_2 + \sqrt{P_1 P_2})^2 - 2P_1 \sqrt{P_1 P_2} = B$$

$$2P_1 P_2 \sqrt{P_1 P_2} = C$$

由是

$$P_0 = \frac{\sqrt{B^2 + 4AC} - B}{2A}.$$

當計算作用在鑽机手柄上的軸压力时，應考慮到所鑽炮眼的方向，因为所鑽炮眼不为水平位置时，在鑽机重量影响下，軸压力遂發生了变化。

当鑽上向炮眼时，風鑽与鉗子重量減弱了軸压力；而当鑽下向炮眼时，風鑽重量將使軸压力增强。因此附加在風鑽手柄上的軸压力值，必須适当增大或减少其大小

$$Q_M \sin \alpha,$$

式中 Q_M ——不計活塞之風鑽重量（当鑽上眼时，式中尚包括有鉗子重量在內）；

α —— 炮眼与水平方向所成的倾斜角度。

考慮到風鑽重量的修正，作用在鑽机手柄上的軸壓力值。

可用下列一般形式之公式來求

$$P_0 = \frac{\sqrt{B^2 + 4AC} - B}{2A} \pm Q_M \sin \alpha.$$

当鑽上眼时， $Q_M \sin \alpha$ 取“+”，而鑽下眼时取“-”。

試驗指出〔3〕：用 OM-506（不帶安置鑽机的設備）打垂直下向炮眼（其軸壓力等于机体重与部分鑽杆重量）以及采用推進力达 120 公斤的 III-1 型自動推進裝置打水平炮眼时的平均鑽速指标如表一所示：

表 1

試驗号數	當氣壓為 5 個大氣壓時之鑽眼速度 (公厘/分)	
	帶有自動推進之水平鑽眼	手持式垂直下向炮眼
1	140	136
2	128	123
3	151	148

从这表中可以看出，如果不考慮因下向炮眼排粉困难所導致的某些偏差，軸壓力等于机体重与鑽杆的部分重量时（約 35.8 公斤），鑽下眼的速度实际上与帶有自動推進裝置鑽水平眼的鑽眼速度无所区别。由此可見，在該种条件下，35.8 公斤的軸壓力，对保証高度的鑽眼生產率是足够的。

对于上述条件，我們用理論計算的方法來確定出这个压力。

当工作冲程时，承受压力的活塞面積，对 OM-506 鑽机來說等于 28.2 平方公分，而空程时等于 18.6 平方公分。

气缸內压力的平均压力，取为近鑽机处压气压力的一半。

这已被風鑽的試驗結果及表 2 內所列舉出的相應計算所証實。

表 2

指 标	單 位	進入鑽機之風壓，大氣壓		
		3	4	5
作功時活塞面積	公分 ²	28.2	28.2	28.2
活塞行程	米	0.06	0.06	0.06
在氣缸中平均壓力	大氣壓	1.36 ^①	2.07	2.71
衝擊功	公斤一米	2.30	3.50	4.75

① 在機體內的平均壓力，是按菲格納姆試驗法所得的衝擊功，活塞面積及其行程大小計算而得的。由於因為氣缸內所形成的死角而減少了活塞的行程，實際的平均壓力要稍低些。

當近鑽機處，壓風壓力為 5 大氣壓時：

$$P_1 = 28.2 \times 2.50 = 70.5 \text{ kg},$$

$$P_2 = 18.6 \times 2.50 = 46.5 \text{ kg}.$$

相應的

$$A = (\sqrt{70.5} + \sqrt{46.5})^2 = 231;$$

$$B = (46.5 + \sqrt{70.5 \cdot 46.5})^2 - 2 \cdot 70.5 \sqrt{70.5 \cdot 46.5} = 2688.4;$$

$$C = 2 \cdot 70.5 \cdot 46.5 \sqrt{70.5 \cdot 46.5} = 374088;$$

$$P_0 = \frac{\sqrt{2688.4^2 + 4 \cdot 231 \cdot 374088} - 2688.4}{2 \cdot 231} = 35 \text{ kg}.$$

由此可見，由理論計算所得之軸壓力的大小，已被試驗所得資料証實。在所研究的條件下，我們計算的結果與按其他作者公式所計算的結果相比，列舉在表 3 內。

這個對照的結果，同樣令人信服所導出公式的正確性。因為用該公式算得的軸壓力與實用試驗法所得的軸壓力，其誤差是最小的。

因此所導出公式，可用來更正確地確定作用在鑽機上的

表 3 軸压力而旨在确立鑽机工作的正常条件。

确定軸压力的方法	作用在鑽机上的軸压力	誤差%
試驗法	35.8	0.00
按西达林卡公式	29.3	-18
按馬也尔克公式	58.4	+63
按公式(15)	35.0	-2

參 考 文 献

- [1] “礦山雜志” 1934年第2期。
 [2] 布奇聶夫：“鑽眼工程”，苏联國立煤礦技術書籍出版社，1950年版，第99—102頁。
 [3] A. M. Фейгин：“ОМ-506型鑽机的試驗”科学技術情報局，苏联國立煤礦技術書籍出版社，1950年。
 (譯自“Исследования по шахтному строительству”，1954年。)

應用熱力破壞岩石的方法

〔苏联〕技术科学副博士 Г. Н. Дорошенко 作
王樹仁譯 鄭开征校

直到目前为止，利用机械方法破坏坚硬岩石的效果仍是不高的。

某些岩石，就其硬度而言，是近乎金剛石的硬度的。特别是金属矿的岩石，其普氏岩石强度系数达到 $f=18-20$ 。

在这些岩石中的鑽眼速度是極低的。例如对 $f=12$ 以上的岩石，鑽速为每班 4.6 公尺，而对 $f=16$ 的岩石，其鑽速僅为 2.7 公尺/班。特別低的鑽速是作磨料的岩石。这种情况就迫使尋找破坏岩石的其他方法。热力(火燒)方法即是这些方法之一。

热力(火燒)方法破坏岩石的理論基礎

如果对多少有些均質的岩石加热，则热流大約是成同心圓

的球面向岩石内擴散的。

加热到很高温度的岩石外層，在其膨脹的同时，將从其下較冷的一層剝离开。

热力破坏岩石的效能决定于：

热膨胀系数；

热容量；

彈性和硬度；

導热性；

受热作用影响的内部变化。

現在來分析一下上面所指出的各個性質对热力破坏岩石的效能的影响。

热膨胀系数。当热力作用在岩石上时，岩石層長度的增長量可用下式表示，

$$\Delta l = l\alpha(t_2 - t_1)$$

式中 Δl —— 長度增長量；

l —— 原始長度；

α —— 線膨胀系数；

t_2 和 t_1 —— 最終和最初温度。

茲將不同岩石的線膨胀系数平均值列于表 1。

由多种具有不同膨胀系数的岩石或者具有高度的各相异性的晶体所組成的岩石，是比较容易破坏的。

表 1

岩 石	線膨胀系数
花崗岩	$(8 \pm 3)10^{-3}$
砂岩	$(10 \pm 2)10^{-6}$
石英岩	11×10^{-6}
石灰岩	$(8 \pm 4)10^{-6}$
頁岩	$(9 \pm 1)10^{-6}$

某些礦物当加热时，其膨胀是在某一方向上比另外的方向上要大很多。例如，在石英中光軸方向上的平均膨胀系数几乎大于垂直于

光軸方向上的一倍多。

此特性在方解石中最为顯著，其中綫膨脹系數平均值在平行法綫方向的為正，而垂直法綫方向的為負。

因為岩石是不良導熱體，故在不同岩層面上造成不同的溫度。岩石個別顆粒膨脹之可能性，受到他們之間內聚力的限制。

結果在岩石內發生壓縮、拉伸和剪切應力。

在這些應力的作用下，岩石分子間的聯繫被破壞，同時在相連的表面上出現裂縫。兩個相同的晶體，當其光軸方向不同，加熱時應當是不同的膨脹，因而其晶面的聯繫被破壞，從而彼此分開。不同礦物的共晶體的這種分離作用更為強烈，這是由於他們不僅具有不同的熱膨脹系數，而且具有不同的熱容量。

熱容量。當加熱時，礦物晶體所吸收熱量是不同的，因此各晶體相連之點具有不同的溫度。舉例來講，假設對於具有不同熱容量的石英和鈷的兩個共晶上加熱，則在石英體上某一點的溫度為 100°C ，而與其相鄰的鈷上的一點的溫度卻是 500°C 左右。

這種情況促使晶體的強烈分裂。

只有熱容量很小的和幾種礦物組成的岩石才可以用熱力（火燒）法破壞之。

彈性和硬度。礦物的彈性決定於結晶性，同時彈性只有在同一晶體結構方向上才是相同的。

在不定形體內，在任何方向上的彈性是相同的。彈性模數和彈性極限愈低，則這些礦物在加熱作用下破壞愈困難，因為所發生的變形在冷卻時很易恢復。火燒法的效果與熱膨脹系數成正比，而與彈性模數成反比。

導熱性。對用火燒方法破壞岩石來講，岩石的導熱性為一個很重要的因素。

由一分子向另一分子的熱的傳導，可以公式表示之：

$$dQ = \lambda f \frac{d\theta}{dx} T,$$

式中 f —— 橫斷面積，平方公分；

λ —— 內部導熱系數；

$\frac{d\theta}{dx}$ —— 溫度梯度；

T —— 時間，秒。

具有較低導熱性的岩石在很大程度上是能被破壞的，因為在此情況下，熱就集中于層面上，因而使其破壞或者在其體內

表 2 形成裂縫。

岩 石	導 热 性 (卡/秒·公分·度)	當導熱性很大時， 岩石表面上不存在高溫 的集中，因為在此情況 下熱很容易向各方傳 導。在接合表面上熱的 傳導極佳。
石英(平行于光軸)	0.03	
燧石	0.0024	
赤鐵礦	0.175	
花崗岩	0.007	
石花砂	0.0006	
硬石灰岩	0.0087	
零度時的砂岩	0.004	某些礦物和岩石的 導熱性見表 2。

受熱作用影響的內部的變化。假如物質能結晶成不只一種晶体形狀的話，則這種現象稱為多晶現象。多晶形的變化伴隨着結晶格子的改變以及由此而發生晶体大小及性質的變化。例如石英在溫度為 575°C 時變為另一種晶体形狀，體積膨脹 0.4% 。

几乎各種岩石中都有游離狀態的 SiO_2 ，不論火成岩和沉積岩。因此含有 SiO_2 百分比很大的岩石，當熱力作用時，很易被破壞。

在某些岩石中，除有直接的相位的變化以外，還發生化學的變化。例如，當熱力作用於炭酸鹽類岩石時就會失去二氧化

碳而变为氧化物。

岩石破坏的过程。上述岩石破坏的理论在很早以前就已经知道了，然而对于破坏岩石的高温火焰的应用尚不能获得满意的效果。当加热温度到 3000°C 时岩石熔化了，在最好的情况下，可在岩石内产生裂缝。岩石的这种破坏过程，效果是不佳的，因为熔化了的岩石很难将热传于下层岩石，而除掉熔岩也有很大困难。

提高喷焰的速度可以达到最满意的效果，因为在这种情况下可以产生岩石颗粒的破裂，并且可用气体动能来将其清除掉。向岩石喷焰的能力可以用如下函数式表示之：

$$Q = C_n \cdot v \cdot f \cdot T, \text{卡/秒.}$$

式中 C_n ——一定压力下火焰的热容量；

T ——火焰的温度；

f ——火焰的横截面；

v ——喷焰速度。

喷焰速度的增加使温度梯度显著增加，并保证了岩石破坏为细小的颗粒。很清楚，此速度值应当是很大的（超音速），以使岩石破坏的过程造成碎裂的小块，同时为了剥出下一层冷的岩面而很快的吹净这些岩屑。在这种情况下，破坏岩石的过程是連續不断的。用这种方法烧出眼孔乃是按如下的方法。在喷头喷出的火焰的作用下所粉碎了的岩屑，为灼热的

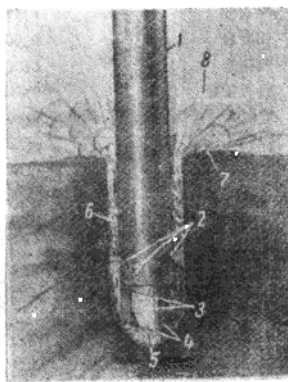


圖1 烧成眼孔的过程
1—噴头；2—出水孔；3—肋条；
4—出水孔；5—火焰；6—热蒸汽带
出岩石；7—吹出的岩屑堆；8—水蒸
汽。